

FIG. 159. System obeying Raoult's law

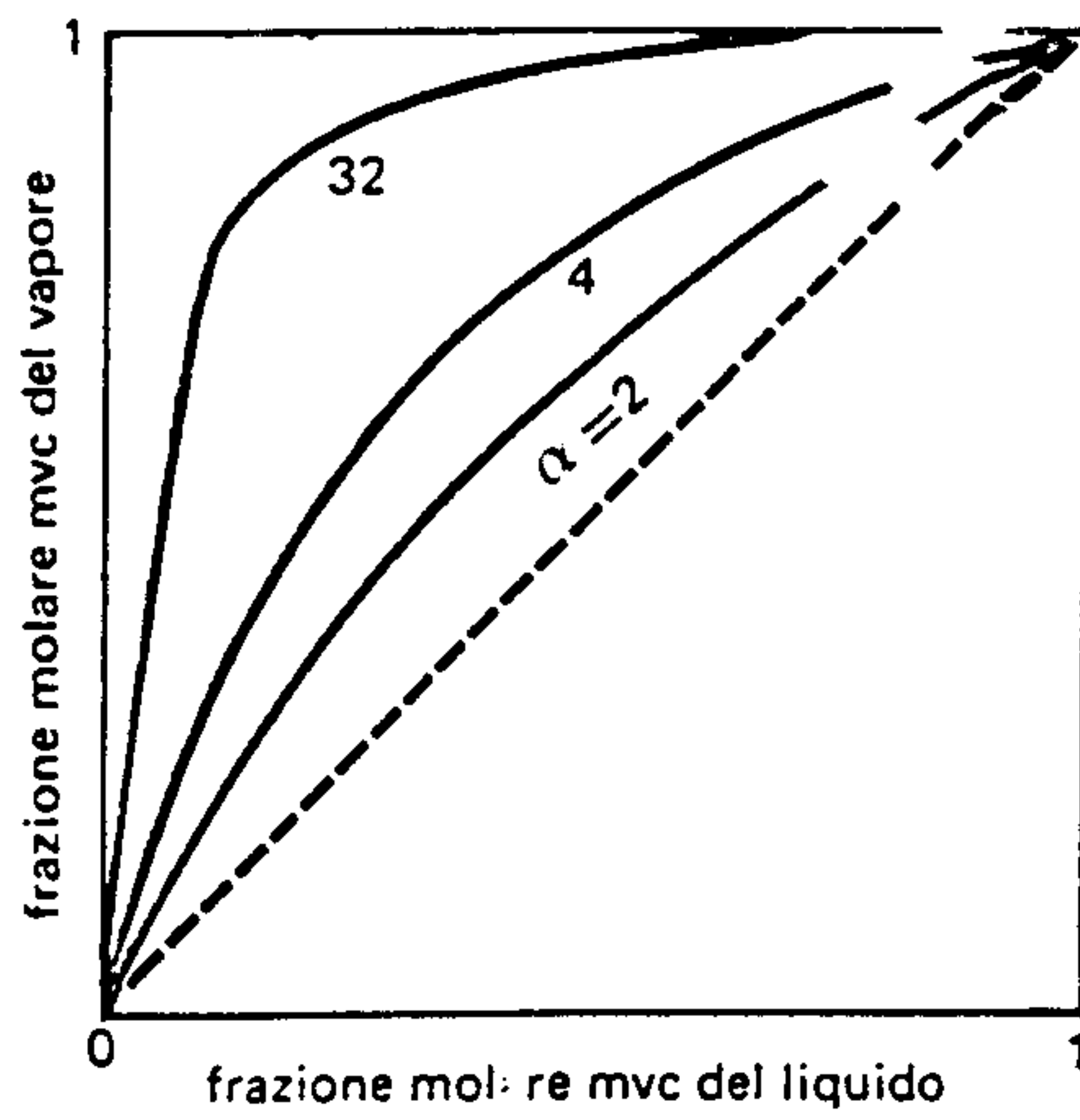


Figura 5.7  
Variazione della composizione in fase vapore con la composizione in fase liquida per un sistema di miscele binarie ideali a differenti valori di volatilità relativa.

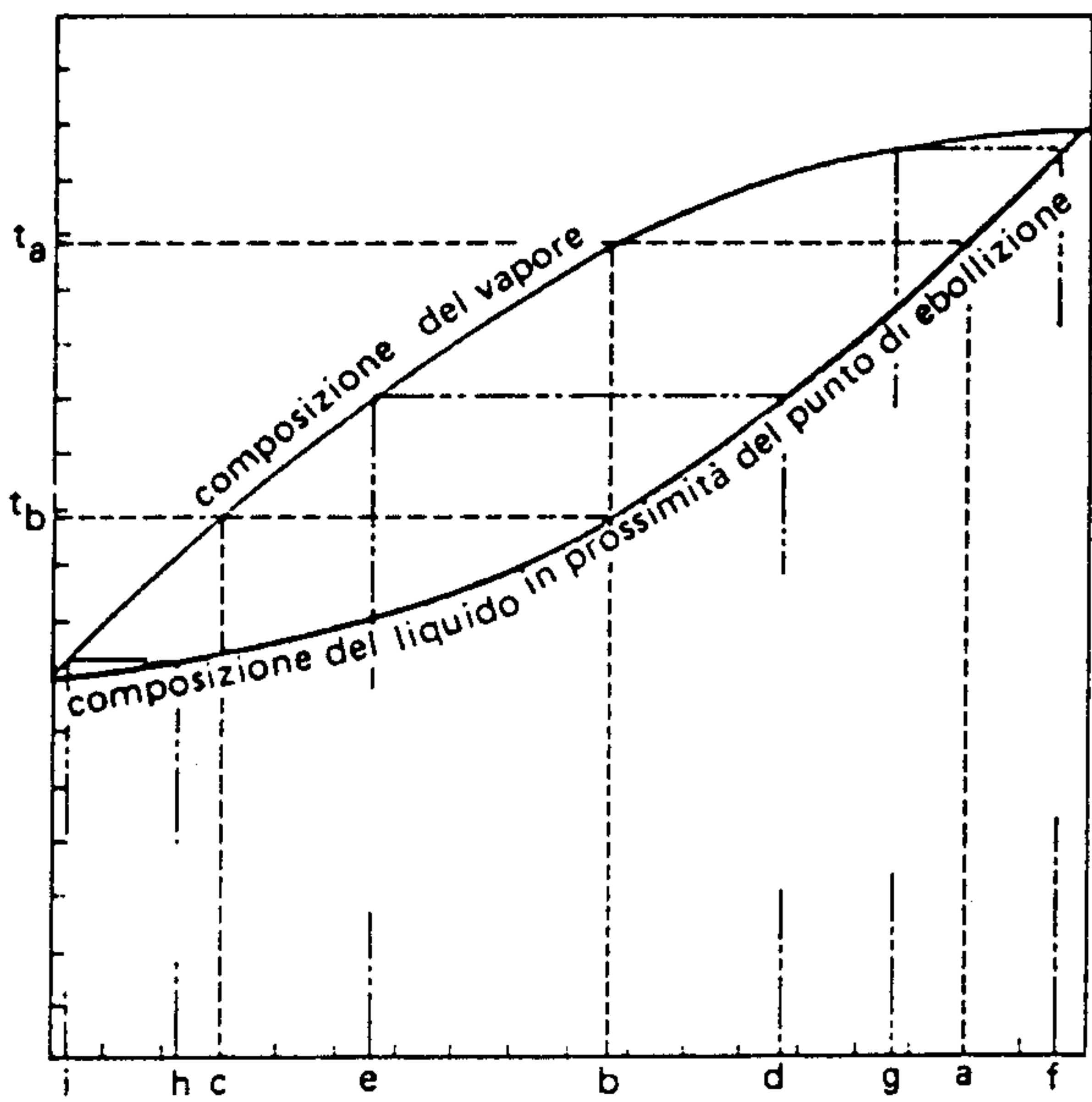


Figura 5.17  
Variazione del punto di ebollizione di una miscela binaria al variare della sua composizione percentuale.

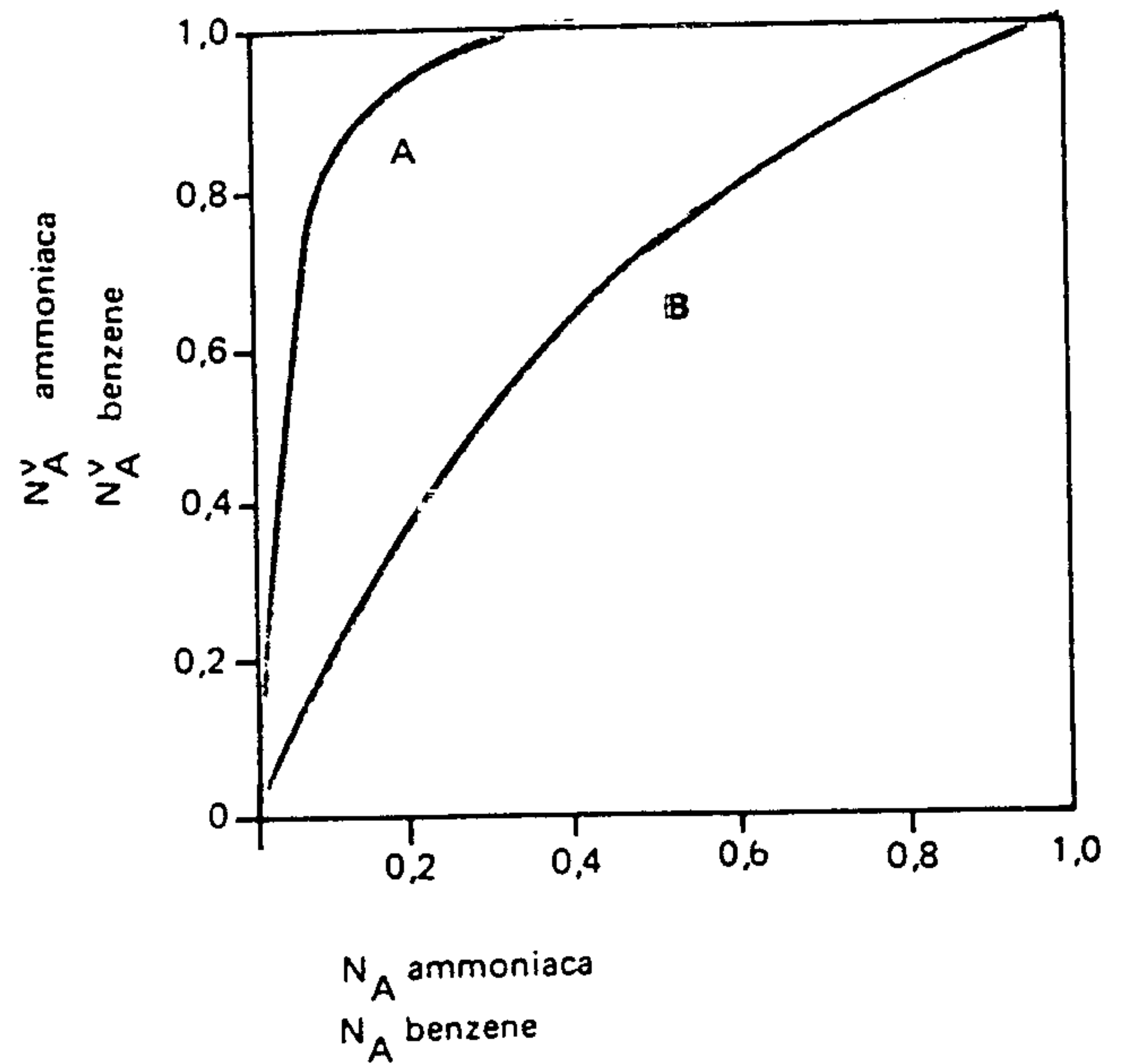


Figura 5.9  
Curva della composizione liquido-vapore all'equilibrio per ammoniaca e benzene.